# T7: Ecuaciones de la Dinámica del Sólido Rígido MECÁNICA – Grado de Ingeniería Civil

José M.<sup>a</sup> Goicolea

Grupo de Mecánica Computacional Escuela de Ingenieros de Caminos, Universidad Politécnica de Madrid

30 de marzo de 2022







## Índice de la clase T7-1

- Concepto y ecuaciones generales
  - Sólido Rígido
  - Ecuaciones Cardinales

- 2 Magnitudes cinéticas
  - Expresiones generales
  - Rotación con eje fijo



## Índice de la clase T7-2

- 3 Tensor de inercia
  - Concepto y expresiones
  - Componentes
  - Ejes principales y simetrías
  - Campo tensorial



# Índice de la clase T7-3

- Ecuaciones de la dinámica
  - Ecuaciones de Euler
  - Ecuaciones de Lagrange
  - Reacciones



#### Parte I

Clase T7-1: Concepto, ecuaciones generales y expresión de magnitudes cinéticas



- Concepto y ecuaciones generales
  - Sólido Rígido
  - Ecuaciones Cardinales

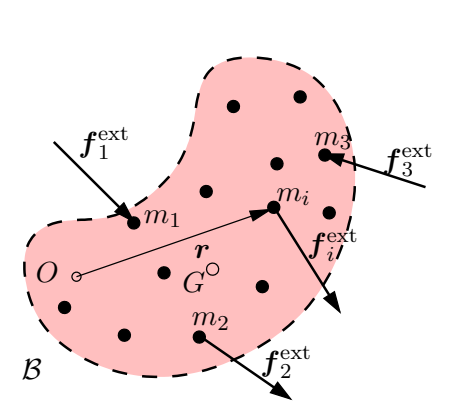
- 2 Magnitudes cinéticas
  - Expresiones generales
  - Rotación con eje fijo

- 1 Concepto y ecuaciones generales
  - Sólido Rígido
  - Ecuaciones Cardinales

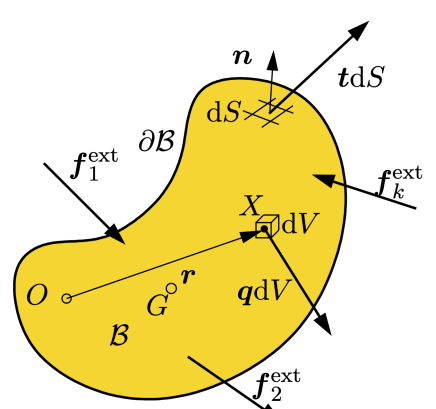
- 2 Magnitudes cinéticas
  - Expresiones generales
  - Rotación con eje fijo

# Sólido Rígido – Concepto

Conjunto de partículas, finito o infinito, cuyas distancias se mantienen constantes



Sólido rígido discreto, formado por partículas de masas  $m_i$ Masa total:  $M = \sum_{i=1}^{n} m_i$ 



Sólido rígido como medio continuo, con masas elementales  $dm = \rho dV$ 

Masa total:  $M = \int_{\mathcal{B}} \rho \, dV$ 

# Sólido Rígido – Magnitudes dinámicas

#### Resultante de fuerzas y momentos

Sólido discreto

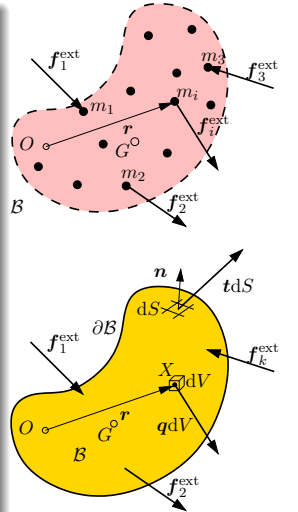
$$m{F} = \sum_{i=1}^{N} m{f}_i^{ ext{ext}}\,, \qquad m{M}_O = \sum_{i=1}^{N} m{r}_i \wedge m{f}_i^{ ext{ext}}\,.$$
 (1)

Sólido continuo

$$F = \int_{\mathcal{B}} \mathbf{q} \, dV + \int_{\partial \mathcal{B}} \mathbf{t} \, dS + \sum_{k} \mathbf{f}_{k}^{\text{ext}},$$

$$\mathbf{M}_{O} = \int_{\mathcal{B}} \mathbf{r} \wedge \mathbf{q} \, dV + \int_{\partial \mathcal{B}} \mathbf{r} \wedge \mathbf{t} \, dS \qquad (2)$$

$$+ \sum_{k} \mathbf{r}_{k} \wedge \mathbf{f}_{k}^{\text{ext}},$$





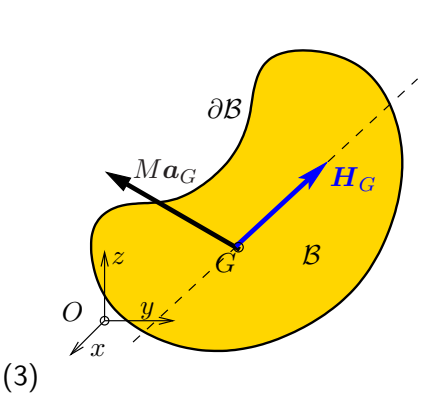
- Concepto y ecuaciones generales
  - Sólido Rígido
  - Ecuaciones Cardinales

- 2 Magnitudes cinéticas
  - Expresiones generales
  - Rotación con eje fijo

#### **Ecuaciones Cardinales – 1**

- En el caso más general (3D) un sólido rígido tiene 6 grados de libertad
  - 3 gdl de traslación: coordenadas (x,y,z) de un punto de referencia; este puede ser (preferentemente) el CDM G, u otro punto
  - 3 gdl de rotación: por ejemplo, los ángulos de Euler  $(\psi, \theta, \varphi)$
- Se pueden aplicar las 6 ecuaciones cardinales de la dinámica

$$\begin{cases} \boldsymbol{F} = M\boldsymbol{a}_G; \\ \boldsymbol{M}_G = \frac{\mathrm{d}}{\mathrm{d}t}\boldsymbol{H}_G \end{cases}$$



Constituyen un conjunto necesario y suficiente<sup>1</sup> para resolver la dinámica

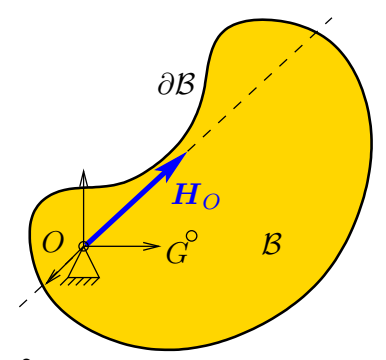
<sup>1</sup>se demuestra mediante el principio de D'Alembert,

$$(\mathbf{F} - M\mathbf{a}_G) \cdot \delta \mathbf{r}_G + (\mathbf{M}_G - \frac{\mathrm{d}}{\mathrm{d}t}\mathbf{H}_G) \cdot \delta \boldsymbol{\theta} = 0 \quad \forall (\delta \mathbf{r}_G, \delta \boldsymbol{\theta})$$

#### Ecuaciones Cardinales – 2

• En el caso del sólido con un punto O fijo, tiene solo 3 gdl de rotación, y las 3 ecuaciones necesarias y suficientes para la dinámica son

$$\boxed{\boldsymbol{M}_O = \frac{\mathrm{d}}{\mathrm{d}t} \boldsymbol{H}_O}$$



Constituyen un conjunto necesario y suficiente<sup>2</sup> para resolver la dinámica

 $<sup>^2</sup>$ se demuestra mediante el principio de D'Alembert,  $(m{M}_G - rac{\mathrm{d}}{\mathrm{d}t}m{H}_G)\cdot\deltam{ heta} = 0$ 

- Concepto y ecuaciones generales
  - Sólido Rígido
  - Ecuaciones Cardinales

- 2 Magnitudes cinéticas
  - Expresiones generales
  - Rotación con eje fijo

# Expresiones generales – Magnitudes cinéticas

#### Cantidad de movimiento y momento cinético

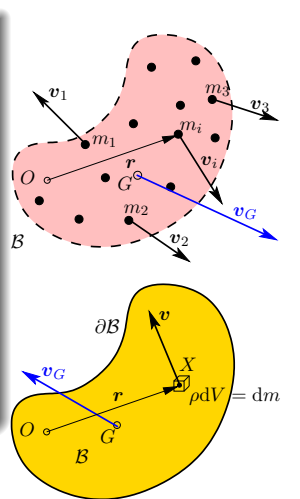
Sólido discreto

$$m{P} = \sum_{i=1}^N m_i m{v}_i = M m{v}_G \,, \quad m{H}_O = \sum_{i=1}^N m_i m{r}_i \wedge m{v}_i \,,$$
 (5)

Sólido continuo

$$\mathbf{P} = \int_{\mathcal{B}} \mathbf{v} \, \rho \, dV = M \mathbf{v}_G, \quad \mathbf{H}_O = \int_{\mathcal{B}} \mathbf{r} \wedge \mathbf{v} \, \rho \, dV.$$
(6)

 En lo que sigue, supondremos que se trata de un sólido continuo, aunque todos los resultados son igualmente válidos para el caso discreto.

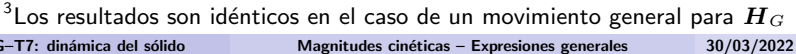


## Expresiones generales – Momento cinético

- Supondremos igualmente que el movimiento de traslación y el de rotación están desacoplados.
- El movimiento de traslación se resuelve en este caso como la dinámica de una partícula.
- Nos fijaremos en lo que sigue únicamente en el movimiento de rotación, tanto para un sólido libre (alrededor de G) como para un sólido con un punto fijo (alrededor de O), la ecuación vectorial sería

$$M_G = \frac{\mathrm{d}}{\mathrm{d}t} H_G$$
 o bien  $M_O = \frac{\mathrm{d}}{\mathrm{d}t} H_O$  (7)

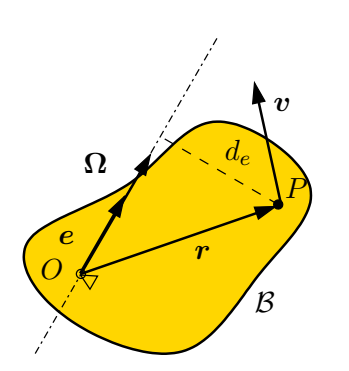
• La magnitud fundamental es el momento cinético ( $H_G$  ó  $H_O$ ). Por ello, en lo que sigue se desarrolla su expresión para un movimiento de rotación instantánea<sup>3</sup>, a partir de un punto de velocidad nula,  $H_O$ .



## Expresiones generales – Momento cinético

 Consideramos el movimiento de rotación siendo O un punto con velocidad nula, perteneciente al eje de rotación<sup>4</sup>. El campo de velocidades es

$$v = \Omega \wedge r$$
 (8)

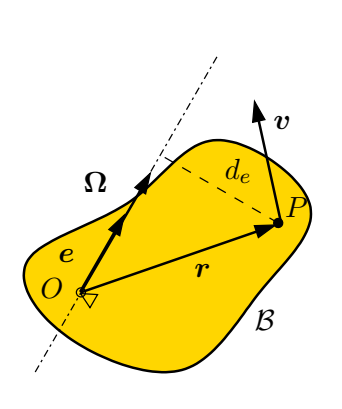


 El momento cinético, desarrollando la ecuación (6), es

$$\mathbf{H}_{O} = \int_{\mathcal{B}} \mathbf{r} \wedge \mathbf{v} \, \rho \, dV 
= \int_{\mathcal{B}} \mathbf{r} \wedge (\mathbf{\Omega} \wedge \mathbf{r}) \, \rho \, dV \qquad (9) 
= \int_{\mathcal{B}} \left[ r^{2} \mathbf{\Omega} - (\mathbf{r} \cdot \mathbf{\Omega}) \mathbf{r} \right] \rho \, dV$$

<sup>&</sup>lt;sup>4</sup>El caso del movimiento general del sólido libre es idéntico, empleando el CDM Gaya las velocidades relativas a este punto

## Expresiones generales - Momento cinético



 La expresión del momento cinético se puede proyectar sobre la dirección e del eje de rotación, obteniendo el momento cinético áxico

$$H_{O,e} = \mathbf{e} \cdot \mathbf{H}_{O}$$

$$= \int_{\mathcal{B}} \mathbf{e} \cdot [\mathbf{r} \wedge (\mathbf{\Omega} \wedge \mathbf{r})] \rho \, dV$$

$$= \int_{\mathcal{B}} \Omega(\mathbf{e} \wedge \mathbf{r}) \cdot (\mathbf{e} \wedge \mathbf{r}) \rho \, dV$$

$$= \Omega \int_{\mathbf{R}} d_{e}^{2} \rho \, dV$$
(10)

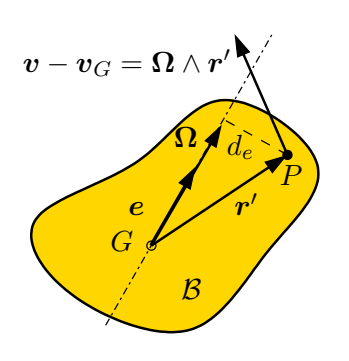
ullet Donde aparece el momento de inercia del sólido respecto al eje  $(O, oldsymbol{e})$ :

$$I_{O,e} \stackrel{\text{def}}{=} \int_{\mathcal{B}} d_e^2 \rho \, dV \longrightarrow \boxed{H_{O,e} = I_{O,e} \Omega}$$
 (11)

## Expresiones generales – Energía cinética

• De igual manera que para el momento cinético, la expresión de la energía cinética para una rotación instantánea resulta

$$T = \int_{\mathcal{B}} \frac{1}{2} (\mathbf{\Omega} \wedge \mathbf{r})^2 \rho \, dV = \frac{1}{2} \Omega^2 \int_{\mathcal{B}} d_e^2 \rho \, dV \implies \boxed{T = \frac{1}{2} I_{O,e} \, \Omega^2}$$
(12)



• Para un movimiento general, desarrollando a partir del CDM G, la expresión es<sup>a</sup>

$$T = \int_{\mathcal{B}} \frac{1}{2} (\boldsymbol{v}_G + \boldsymbol{\Omega} \wedge \boldsymbol{r}')^2 \rho \, dV \qquad (13)$$

$$T = \frac{1}{2} M v_G^2 + \frac{1}{2} I_{G,e} \Omega^2$$
 (14)

 que es la aplicación del teorema de König al caso del sólido, separando la energía de traslación y rotación.

ademostración en el libro de texto



- Concepto y ecuaciones generales
  - Sólido Rígido
  - Ecuaciones Cardinales

- 2 Magnitudes cinéticas
  - Expresiones generales
  - Rotación con eje fijo

## Rotación con eje fijo

- Consideramos la dinámica de rotación para el caso en que además de ser una rotación instantánea, el eje de rotación e es fijo
- Para ello se deriva la expresión<sup>5</sup>(11)

$$\frac{\mathrm{d}}{\mathrm{d}t}H_{O,e} = I_{O,e}\,\dot{\Omega} = \frac{\mathrm{d}}{\mathrm{d}t}(\boldsymbol{H}_O \cdot \boldsymbol{e}) = \frac{\mathrm{d}}{\mathrm{d}t}(\boldsymbol{H}_O) \cdot \boldsymbol{e} = \boldsymbol{M}_O \cdot \boldsymbol{e} = M_{O,e}$$

$$\downarrow \qquad \qquad \qquad \downarrow$$

$$M_{O,e} = I_{O,e}\,\dot{\Omega} \qquad (15)$$

- La ecuación obtenida es similar a la ecuación dinámica de la partícula,  $F = m\dot{v}$ . Sin embargo, solo vale para el caso de eje de rotación fijo, como en la dinámica del sólido 2D.
- Para un caso general 3D es necesario desarrollar las expresiones a partir del tensor de inercia, en los siguientes apartados.

 $<sup>^5</sup>$ Si la dirección del eje e no fuera constante habría que derivarlo también lo que invalidaría este resultado



#### Parte II

Clase T7-2: Tensor de inercia: concepto, componentes, propiedades y ejemplos



- Tensor de inercia
  - Concepto y expresiones
  - Componentes
  - Ejes principales y simetrías
  - Campo tensorial

#### Tensor de inercia – Momento cinético

• La expresión obtenida en (9) indica que el momento cinético  $H_O$  depende linealmente de  $\Omega$ :

$$\boldsymbol{H}_{O} = \int_{\mathcal{B}} \boldsymbol{r} \wedge (\boldsymbol{\Omega} \wedge \boldsymbol{r}) \rho \, dV = \int_{\mathcal{B}} \left[ r^{2} \boldsymbol{\Omega} - (\boldsymbol{r} \cdot \boldsymbol{\Omega}) \boldsymbol{r} \right] \rho \, dV \qquad (16)$$

• Esta naturaleza como aplicación lineal de un vector  $\Omega$  a otro vector  $H_O$  lo caracteriza como tensor de orden 2, que denominamos Tensor de inercia  $I_O$ :

$$I_O: \Omega \mapsto H_O(\Omega)$$
 (17)

• La ecuación (16) también podemos expresarla en componentes<sup>6</sup>:

$$H_{O,i} = \int_{\mathcal{B}} \left[ r^2 \Omega_i - (r_j \Omega_j) r_i \right] \rho \, dV \tag{18}$$





## Tensor de inercia – Concepto y expresiones

• En (18) se puede sacar fuera de la integral la velocidad angular  $\Omega \equiv \Omega_i$ , que es común al sólido. Considerando además  $\Omega_i = \delta_{ij}\Omega_j$ :

$$H_{O,i} = \left[ \int_{\mathcal{B}} \left( r^2 \delta_{ij} \Omega_j - r_j r_i \Omega_j \right) \rho \, dV \right]$$
 (19)

$$= \left[ \int_{\mathcal{B}} (r^2 \delta_{ij} - r_i r_j) \rho \, dV \right] \Omega_j \tag{20}$$

En esta expresión se identifican las componentes del tensor de inercia,
 y la expresión tensorial asociada:

$$I_{O,ij} = \int_{\mathcal{B}} (r^2 \delta_{ij} - r_i r_j) \rho \, dV \iff I_O = \int_{\mathcal{B}} (r^2 \mathbf{1} - \mathbf{r} \otimes \mathbf{r}) \rho \, dV$$
(21)

• El tensor de inercia opera de la siguiente forma (expr. con índices):

$$H_{O,i} = I_{O,ij}\Omega_j \tag{22}$$

• Y equivalentemente en expresión tensorial y matricial

$$oxed{oldsymbol{H}_O = oldsymbol{I}_O \cdot oldsymbol{\Omega}} \Rightarrow oxed{igl\{oldsymbol{H}_O\} = oxed{igl[I_O] igl\{\Omega\}}}$$

## Tensor de inercia – Concepto y expresiones

 La expresión del momento cinético áxico puede obtenerse mediante el tensor de inercia; en efecto, para  $\Omega = \Omega e$ ,

$$H_{O,e} = e \cdot H_O = e \cdot (I_O \cdot \Omega) = e \cdot (I_O \cdot e) \Omega$$
 (24)

y comparando con la ecuación (11) se puede identificar

$$I_{O,e} = e \cdot I_O \cdot e \tag{25}$$

• De forma similar, para una rotación instantánea la energía cinética (12) puede expresarse como

$$T = \int_{\mathcal{B}} \frac{1}{2} (\mathbf{\Omega} \wedge \mathbf{r})^{2} \rho \, dV = \int_{\mathcal{B}} \frac{1}{2} \mathbf{\Omega} \cdot \left[ \mathbf{r} \wedge (\mathbf{\Omega} \wedge \mathbf{r}) \right] \rho \, dV$$
$$= \frac{1}{2} \mathbf{\Omega} \cdot \left[ \int_{\mathcal{B}} \mathbf{r} \wedge (\mathbf{\Omega} \wedge \mathbf{r}) \rho \, dV \right] = \frac{1}{2} \mathbf{\Omega} \cdot \mathbf{I}_{O} \cdot \mathbf{\Omega}$$
 (26)

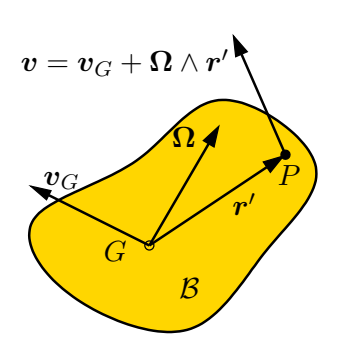
ullet Es decir, las expresiones con índices, tensorial y matricial de T son

$$T = \frac{1}{2} \Omega_i I_{O,ij} \Omega_j$$

$$T = \frac{1}{2} \mathbf{\Omega} \cdot \mathbf{I}_O \cdot \mathbf{\Omega}$$

$$T = \frac{1}{2}\Omega_i I_{O,ij}\Omega_j$$
  $T = \frac{1}{2}\mathbf{\Omega} \cdot \mathbf{I}_O \cdot \mathbf{\Omega}$   $T = \frac{1}{2}(\mathbf{\Omega})[\mathbf{I}_O]\{\mathbf{\Omega}\}$ 

# Tensor de inercia – Concepto y expresiones



 Para el caso de un movimiento general, desarrollando la ecuación del teorema de König (14), la energía cinética es

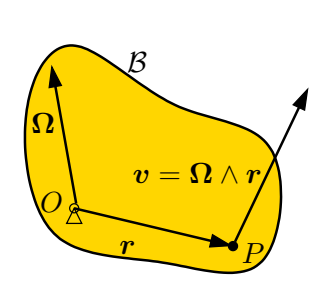
$$T = \frac{1}{2}Mv_G^2 + \frac{1}{2}\mathbf{\Omega}\cdot\mathbf{I}_G\cdot\mathbf{\Omega}$$
 (28)

$$T = \frac{1}{2}Mv_G^2 + \frac{1}{2}(\mathbf{\Omega})[\mathbf{I}_G]\{\mathbf{\Omega}\}$$
 (29)



- Tensor de inercia
  - Concepto y expresiones
  - Componentes
  - Ejes principales y simetrías
  - Campo tensorial

Movimiento del sólido  $\mathcal{B}$  con un punto fijo O, dotado de velocidad de rotación  $\Omega$ :



• La expresión en componentes del tensor de inercia, obtenida antes en (21), es

$$I_{O,ij} = \int_{\mathcal{B}} (r^2 \delta_{ij} - r_i r_j) \rho \, dV$$
 (30)

• lo que equivale a la matriz de componentes

$$[\mathbf{I}_O] = \int_{\mathcal{B}} \begin{pmatrix} r_2^2 + r_3^2 & -r_1 r_2 & -r_1 r_3 \\ -r_1 r_2 & r_1^2 + r_3^2 & -r_2 r_3 \\ -r_1 r_3 & -r_2 r_3 & r_1^2 + r_2^2 \end{pmatrix} \rho \, \mathrm{d}V$$
(31)

o bien, llamando a las coordenadas (x,y,z)

$$[I_O] = \int_{\mathcal{B}} \begin{pmatrix} y^2 + z^2 & -xy & -xz \\ -xy & x^2 + z^2 & -yz \\ -xz & -yz & x^2 + y^2 \end{pmatrix} \rho \, dV$$

• Las componentes del tensor de inercia en coordenadas (x, y, z)pueden identificarse como

$$[\mathbf{I}_{O}] = \int_{\mathcal{B}} \begin{pmatrix} y^{2} + z^{2} & -xy & -xz \\ -xy & x^{2} + z^{2} & -yz \\ -xz & -yz & x^{2} + y^{2} \end{pmatrix} \rho \, dV$$

$$= \begin{pmatrix} I_{xx} & -P_{xy} & -P_{xz} \\ -P_{xy} & I_{yy} & -P_{yz} \\ -P_{xz} & -P_{yz} & I_{zz} \end{pmatrix}$$
(33)

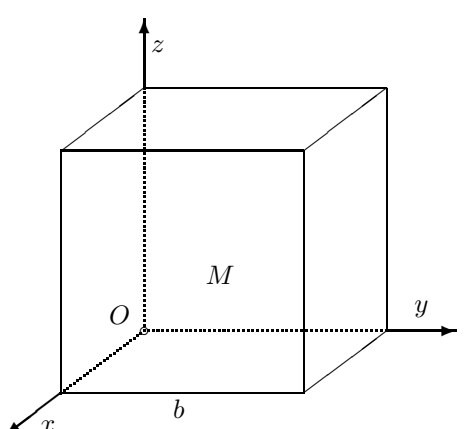
 Los elementos de la diagonal son los momentos de inercia respecto a los ejes coordenados,

$$I_{xx} = \int_{\mathcal{B}} (y^2 + z^2) \rho \, dV, \text{ e igual para } I_{yy}, I_{zz}$$
 (34)

 • y fuera de la diagonal los productos de inercia (con signo −),

$$P_{xy} = \int_{\mathcal{B}} xy \, \rho \, \mathrm{d}V$$
, e igual para  $P_{xz}, P_{yz}$ 

Ejemplo 7.1, aptdo. 7.3.5 libro texto: Cubo de masa M y lado b.



$$I_{xx} = I_{yy} = I_{zz} = \frac{2}{3}Mb^2$$

$$P_{xy} = P_{xz} = P_{yz} = \frac{1}{4}Mb^2$$

$$[I_O] = Mb^2 \begin{pmatrix} 2/3 & -1/4 & -1/4 \\ -1/4 & 2/3 & -1/4 \\ -1/4 & -1/4 & 2/3 \end{pmatrix}$$
(36)



- El tensor  $I_O$  es un operador intrínseco, que no depende de las coordenadas elegidas. Sin embargo, sus componentes  $I_{O,ij}$  y la matriz  $[I_O]$  dependen del sistema de coordenadas.
- Se considera la base espacial fija (I, J, K) y la base del cuerpo móvil (i, j, k), relacionadas por la matriz de rotación [R]

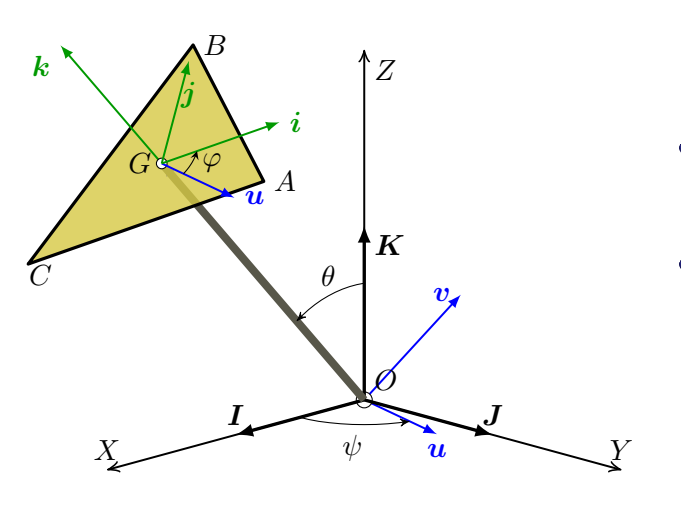
$$(i, j, k) = (I, J, K)[R]$$
(37)

 Suponiendo conocida la matriz de componentes del tensor de inercia en el triedro del cuerpo  $[I_O]^0$ , la matriz en el triedro fijo  $[I_O]$  se obtiene como

$$[I_O] = [R][I_O]^0[R]^\mathsf{T}$$
(38)

• Las componentes  $[I_O]^0$  en el triedro del cuerpo son constantes, mientras que las componentes  $[I_O]$  en el triedro espacial fijo varían en función de la rotación del cuerpo. Por tanto, por simplicidad, interesará plantear las expresiones dinámicas en el triedro del cuerpo. La cuerpo de la cuerpo d

#### Tensor de inercia - Sistemas de referencia



- ullet Triedro del cuerpo:  $\{i,j,k\} 
  ightarrow [I_O]^0$ constante
- ullet Triedro fijo:  $\{oldsymbol{I}, oldsymbol{J}, oldsymbol{K}\} 
  ightarrow egin{aligned} \{oldsymbol{I}_O, oldsymbol{K}\} & = [oldsymbol{R}][oldsymbol{I}_O]^0 [oldsymbol{R}]^{\mathsf{T}} \end{aligned}$



#### Propiedades del tensor de inercia

• La traza del tensor es invariante (respecto al sistema de coordenadas):

$$\operatorname{tr}(\mathbf{I}_{O}) = I_{O,pp} = I_{xx} + I_{yy} + I_{zz}$$

$$= \int_{\mathcal{B}} (y^{2} + z^{2}) \rho \, dV + \int_{\mathcal{B}} (x^{2} + z^{2}) \rho \, dV + \int_{\mathcal{B}} (x^{2} + y^{2}) \rho \, dV$$

$$= \int_{\mathcal{B}} (2x^{2} + 2y^{2} + 2z^{2}) \rho \, dV = 2 \int_{\mathcal{B}} r^{2} \rho \, dV$$
(39)

• Propiedad triangular: cada momento de inercia es menor que la suma de los otros dos y mayor que su diferencia. P.ej. para  $I_{xx}$ ,

$$I_{xx} < I_{yy} + I_{zz} = \int_{\mathcal{B}} (y^2 + z^2 + 2x^2) \rho \, dV$$

$$I_{xx} > I_{yy} - I_{zz} = \int_{\mathcal{B}} (-y^2 + z^2) \rho \, dV$$
(40)

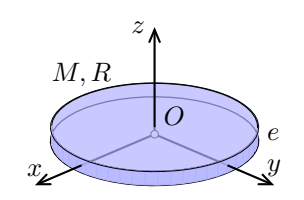
## Tensor de inercia – Sólidos planos

• Para el caso de un sólido plano, con espesor despreciable en relación con las demás dimensiones  $e \approx 0$ , la suma de los momentos de inercia para los ejes en el plano (x,y) es igual<sup>7</sup> al momento de inercia del eje perpendicular al plano (z).

$$I_{xx} + I_{yy} = \int_{\mathcal{B}} \left[ (y^2 + z^2) + (x^2 + z^2) \right] \rho \, dV$$

$$= \int_{\mathcal{B}} \left[ x^2 + y^2 + 2z^2 \right] \rho \, dV = I_{zz}$$
(41)

• Ejemplo: disco circular de masa M y radio R, con espesor  $e \ll R$ 

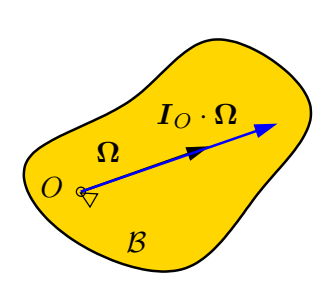


$$I_{xx} = I_{yy} = \frac{1}{4}MR^2$$
 (42)  $I_{zz} = I_{xx} + I_{yy} = \frac{1}{2}MR^2$ 

<sup>&</sup>lt;sup>7</sup>al ser un sólido degenerado, la propiedad triangular se cumple aquí con el signo = 🖘

- Tensor de inercia
  - Concepto y expresiones
  - Componentes
  - Ejes principales y simetrías
  - Campo tensorial

#### Tensor de inercia – Ejes principales y simetrías



• Buscamos direcciones de  $\Omega$  para las que  $H_O(\Omega)$  es paralelo a  $\Omega$ :

$$H_O(\Omega) = I_O \cdot \Omega = \lambda \Omega$$
 (43)

- Esto solo ocurre para algunas direcciones privilegiadas denominadas ejes principales de inercia. Son ejes materiales, ligados al cuerpo y que por tanto se mueven con el mismo.
- ullet Se trata de un problema de autovalores: determinar  $(\lambda, oldsymbol{e})$  tales que

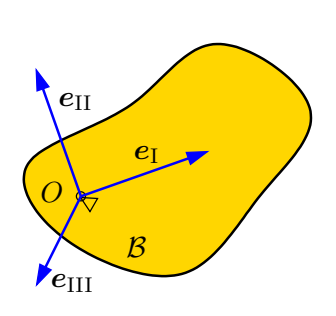
$$I_O \cdot e = \lambda e \quad \Leftrightarrow \quad (I_O - 1\lambda) \cdot e = 0$$
 (44)

 Para que haya soluciones distintas de la trivial<sup>8</sup> la matriz de coeficientes debe ser singular:

$$\det(\mathbf{I}_O - \mathbf{1}\lambda) = P(\lambda) = 0$$
 (polinomio característico, cúbico) (45)



 $<sup>^8</sup>$ siempre existe la solución trivial  $oldsymbol{e} = oldsymbol{0}$ 



• Las soluciones de  $P(\lambda)=0$  son los autovalores. Al ser  $I_O$  simétrico y definido positivo, hay tres soluciones reales y positivas (A,B,C), momentos principales de inercia, asociados a direcciones principales  $(e_{\rm I},e_{\rm II},e_{\rm III})$ :

$$I_{O} \cdot e_{\mathrm{I}} = Ae_{\mathrm{I}}$$

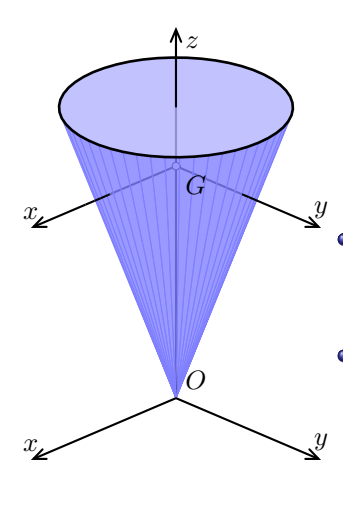
$$I_{O} \cdot e_{\mathrm{II}} = Be_{\mathrm{II}}$$

$$(46)$$

$$I_O \cdot e_{\text{III}} = C e_{\text{III}}$$

- Si los autovalores son diferentes  $(A \neq B \neq C)$  las tres direcciones principales  $(e_{\rm I}, e_{\rm II}, e_{\rm III})$  son mutuamente ortogonales y forman un triedro ortogonal, el triedro principal de inercia.
- La expresión del tensor de inercia en el triedro principal es diagonal,

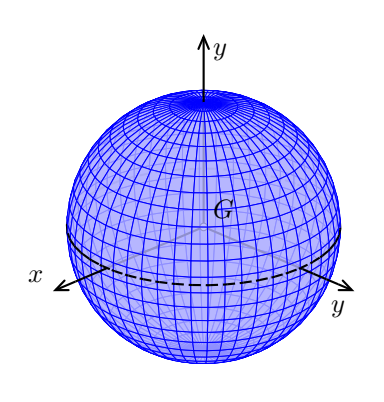
$$[\mathbf{I}_O] = \begin{pmatrix} A & 0 & 0 \\ 0 & B & 0 \\ 0 & 0 & C \end{pmatrix} \tag{47}$$



• En el caso en que dos de los momentos principales sean iguales, p.ej. A=B, estamos ante un tensor de inercia cilíndrico:

$$[\mathbf{I}_O] = \begin{pmatrix} A & 0 & 0 \\ 0 & A & 0 \\ 0 & 0 & C \end{pmatrix} \tag{48}$$

- En este caso, todas las direcciones del plano normal a  $e_{
  m III}$  son principales y asociadas al mismo momento principal A
- Por ejemplo, en el cono de la figura, que tiene simetría de revolución alrededor de Oz, esta dirección es principal  $(e_{\rm III}=k)$ . Todos los ejes en el plano xy son principales, tanto en su vértice O como en el CDM G, y sus momentos de inercia son iguales.



• Si los tres momentos principales son iguales, A=B=C, estamos ante un tensor de inercia esférico:

$$[I_O] = \begin{pmatrix} A & 0 & 0 \\ 0 & A & 0 \\ 0 & 0 & A \end{pmatrix} \tag{49}$$

- ullet En este caso, todas las direcciones del espacio son principales y asociadas al mismo momento principal A
- Ejemplos de tensores de inercia esféricos son la esfera y el cubo o hexaedro regular.
   El momento de inercia respecto a cualquier eje que pase por el centro G es el mismo.

• Como se vio en la ecuación (25) el momento de inercia para un punto dado O depende de la dirección e del eje<sup>9</sup>

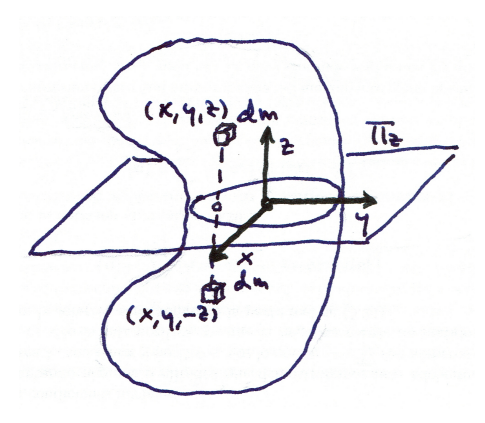
$$I_{O,e} = e \cdot I_O \cdot e \tag{50}$$

ullet Para todos las posibles direcciones e las direcciones principales son las que proporcionan los máximos y mínimos momentos de inercia<sup>10</sup>.

<sup>&</sup>lt;sup>10</sup>Una corresponderá al máximo, otra al mínimo, y la tercera será un máximo o mínimo local intermedio



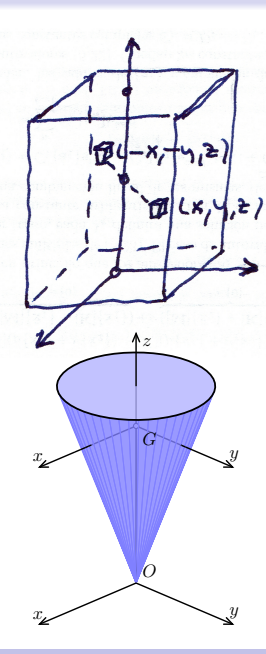
<sup>&</sup>lt;sup>9</sup>En concreto se trata de una forma cuadrática definida positiva



Si un cuerpo tiene un plano de simetría, la dirección normal a dicho plano será siempre eje principal. En efecto, la definición de un plano  $\Pi_z$  de simetría es que para cada punto existe uno simétrico respecto del plano:

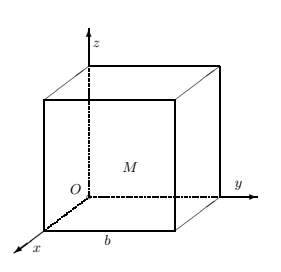
 $\forall (x,y,z) \in \mathcal{B} \quad \exists (x,y,-z) \in \mathcal{B}.$  Por ello se anulan las integrales de los productos de inercia  $P_{xz} = P_{yz} = 0$  y el eje es principal (ejercicio: demostrar).





- Si un cuerpo tiene un eje de simetría, la dirección de dicho eje siempre será principal.
   En efecto, la definición de un eje z de simetría es que para cada punto existe uno simétrico respecto del eje:
  - $\forall (x,y,z) \in \mathcal{B} \quad \exists (-x,-y,z) \in \mathcal{B}.$  Por ello se anulan las integrales de los productos de inercia  $P_{xz} = P_{yz} = 0$  y el eje es principal (ejercicio: demostrar).
- Un eje de revolución es por una parte eje de simetría, y por otra todo plano que lo contenga es de simetría. Por tanto dicho eje será principal, y cualquier eje normal al mismo también, por lo que el tensor de inercia será cilíndrico.

Ejemplo 7.1, aptdo. 7.3.5 libro texto: Cubo de masa M y lado b.



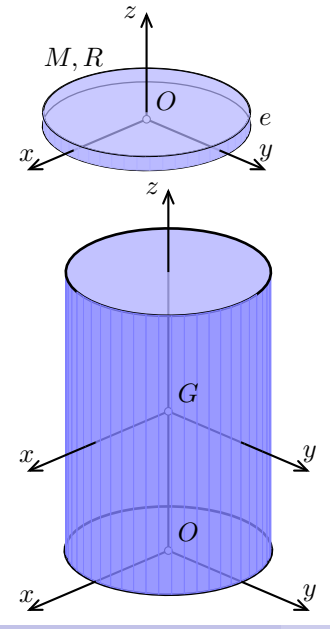
 Continuando este ejemplo, el polinomio característico arroja las siguientes soluciones para los momentos principales de inercia:

$$\det(\mathbf{I}_O - \lambda \mathbf{1}) = 0 \Rightarrow \begin{cases} \lambda_1 = \frac{1}{6} M b^2 \\ \lambda_{\{2,3\}} = \frac{11}{12} M b^2 \text{ (doble)} \end{cases}$$

- La dirección principal asociada a  $\lambda_1$  es  $e_{\rm I} = \frac{1}{\sqrt{3}}(1,1,1)$ , eje diagonal del cubo. Para las otras dos direcciones son cualquier eje perpendicular a la diagonal.
- El tensor en un triedro principal es cilíndrico:

$$[\mathbf{I}_O] = Mb^2 \begin{pmatrix} 1/6 & 0 & 0\\ 0 & 11/12 & 0\\ 0 & 0 & 11/12 \end{pmatrix}$$
 (51)

## Tensor de inercia – Ejemplos



• Disco plano  $(e \rightarrow 0)$  de masa M y radio R:

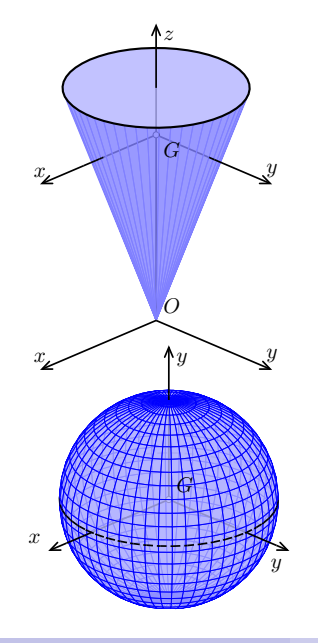
$$I_{xx} = I_{yy} = \frac{1}{4}MR^2; \quad I_{zz} = \frac{1}{2}MR^2$$
$$[\mathbf{I}_O] = MR^2 \begin{pmatrix} 1/4 & 0 & 0\\ 0 & 1/4 & 0\\ 0 & 0 & 1/2 \end{pmatrix} \tag{52}$$

Cilindro de masa M, radio R y altura H.
 Momentos principales en el centro G:

$$I_{xx} = I_{yy} = \frac{1}{4}MR^2 + \frac{1}{12}MH^2; \quad I_{zz} = \frac{1}{2}MR^2$$
$$[\mathbf{I}_G] = \begin{pmatrix} I_{xx} & 0 & 0\\ 0 & I_{xx} & 0\\ 0 & 0 & I_{xx} \end{pmatrix}$$
(53)



### Tensor de inercia – Ejemplos



• Cono de revolución de masa M, radio R y altura H. Momentos principales en el vértice O:

$$I_{xx} = I_{yy} = \frac{3}{5}MH^2 + \frac{3}{20}MR^2; \ I_{zz} = \frac{3}{10}MR^2$$
$$[\mathbf{I}_O] = \begin{pmatrix} I_{xx} & 0 & 0\\ 0 & I_{xx} & 0\\ 0 & 0 & I_{zz} \end{pmatrix}$$
(54)

• Esfera de masa M y radio R:

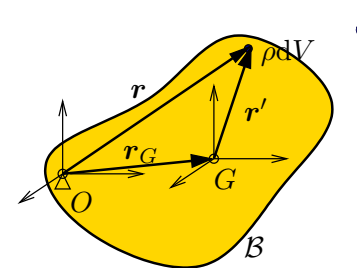
$$I_{xx} = I_{yy} = I_{zz} = \frac{2}{5}MR^2$$
$$[\mathbf{I}_G] = MR^2 \begin{pmatrix} 2/5 & 0 & 0\\ 0 & 2/5 & 0\\ 0 & 0 & 2/5 \end{pmatrix}$$
(55)



## Índice

- Tensor de inercia
  - Concepto y expresiones
  - Componentes
  - Ejes principales y simetrías
  - Campo tensorial

### Tensor de inercia – Campo tensorial



• El tensor de inercia toma distinto valor según el punto del sólido en que se calcule. Consideramos por ejemplo un sólido  $\mathcal{B}$  con un punto O y el CDM G. La relación entre los vectores de posición es

$$\boldsymbol{r} = \boldsymbol{r}_G + \boldsymbol{r}' \tag{56}$$

ullet El tensor en G se denomina tensor central de inercia y su expresión es

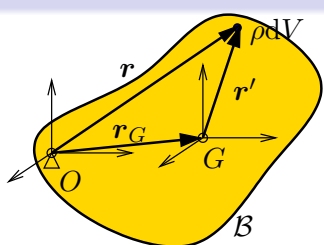
$$I_G = \int_{\mathcal{B}} (r'^2 \mathbf{1} - \mathbf{r}' \otimes \mathbf{r}') \rho \, dV$$
 (57)

• El tensor en O tiene la expresión (21), que desarrollando resulta

$$I_{O} = \int_{\mathcal{B}} (r^{2}\mathbf{1} - \mathbf{r} \otimes \mathbf{r}) \rho \,dV$$

$$= \int_{\mathcal{B}} [(\mathbf{r}_{G} + \mathbf{r}')^{2}\mathbf{1} - (\mathbf{r}_{G} + \mathbf{r}') \otimes (\mathbf{r}_{G} + \mathbf{r}')] \rho \,dV$$
(58)

# Tensor de inercia – Campo tensorial



 Desarrollando la ecuación anterior (58) y teniendo en cuenta que todas las integrales que aparecen del tipo  $\int_{\mathcal{B}} m{r}' 
ho \, \mathrm{d}V$  son nulas

resulta<sup>11</sup>

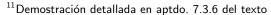
$$\mathbf{I}_{O} = \int_{\mathcal{B}} \left[ (\mathbf{r}_{G} + \mathbf{r}')^{2} \mathbf{1} - (\mathbf{r}_{G} + \mathbf{r}') \otimes (\mathbf{r}_{G} + \mathbf{r}') \right] \rho \, dV$$

$$= \underbrace{\int_{\mathcal{B}} \left( r'^{2} \mathbf{1} - \mathbf{r}' \otimes \mathbf{r}' \right) \rho \, dV}_{\mathbf{I}_{G}} + \underbrace{\int_{\mathcal{B}} \left( r_{G}^{2} \mathbf{1} - \mathbf{r}_{G} \otimes \mathbf{r}_{G} \right) \rho \, dV}_{M(r_{G}^{2} \mathbf{1} - \mathbf{r}_{G} \otimes \mathbf{r}_{G})} \tag{59}$$

Obteniéndose la relación del campo tensorial de inercia:

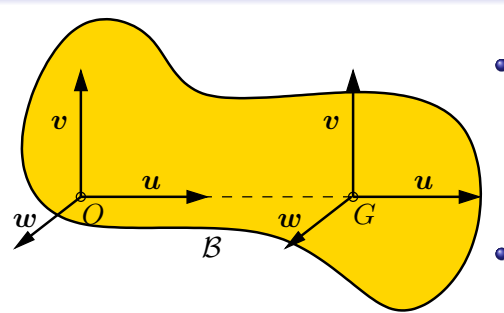
$$I_O = I_G + M(r_G^2 \mathbf{1} - r_G \otimes r_G)$$

$$\tag{60}$$





### Tensor de inercia - Campo tensorial



- Consideramos un sólido con unos ejes (u, v, w) que son principales en el CDM G. Adicionalmente, suponemos que O está situado sobre el eje (G, u).
- Se cumple entonces que (u, v, w) son también principales en O
- Para la dirección u, considerando  $r_G = r_G u$  y aplicando (60):

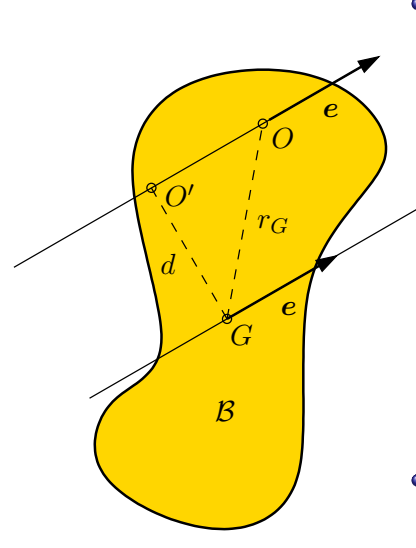
$$I_O \cdot u = I_G \cdot u + M[r_G^2 u - (u \otimes u) \cdot (r_G^2 u)]$$
  
=  $\lambda u + M[r_G^2 u - r_G^2 u(u \cdot u)] = \lambda u$ 

ullet Para  $oldsymbol{v}$  normal a  $oldsymbol{r}_G$ , tal que  $oldsymbol{v}\cdotoldsymbol{u}=0$ , aplicando de nuevo (60)

$$I_O \cdot \boldsymbol{v} = I_G \cdot \boldsymbol{v} + M[r_G^2 \boldsymbol{v} - (\boldsymbol{u} \otimes \boldsymbol{u}) \cdot (r_G^2 \boldsymbol{v})]$$
  
=  $\mu \boldsymbol{v} + M[r_C^2 \boldsymbol{v} - r_C^2 (\boldsymbol{u} - \boldsymbol{v}) \boldsymbol{u}] = (\mu + M r_C^2) \boldsymbol{v}$ 



### Tensor de inercia - Campo tensorial



• Teorema de Steiner. Sea un eje por el centro de masas (G,e) en el cual conocemos el momento de inercia  $I_{G,e}$ . El momento de inercia respecto de un eje (O,e) paralelo por otro punto O y que diste d será

$$I_{O,e} = \mathbf{e} \cdot (\mathbf{I}_O \cdot \mathbf{e})$$

$$= \mathbf{e} \cdot ([\mathbf{I}_G + M(r_G^2 \mathbf{1} - \mathbf{r}_G \otimes \mathbf{r}_G)] \cdot \mathbf{e})$$

$$= I_{G,e} + M[\underbrace{r_G^2 - (\mathbf{e} \cdot \mathbf{r}_G)(\mathbf{e} \cdot \mathbf{r}_G)}_{2}]$$

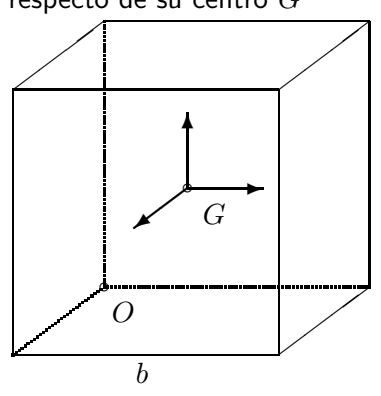
Resulta el Teorema de Steiner:

$$I_{O,e} = I_{G,e} + M d^2$$



## Tensor de inercia - Campo tensorial

Ejemplo 7.2, aptdo. 7.3.6 libro texto: Cubo de masa M y lado b. Obtención del tensor central de inercia de un cubo respecto de su centro G



Aplicamos la expresión (60) del campo tensorial de inercia, considerando  $r_G$ :

$$\{r_G\} = \begin{cases} b/2 \\ b/2 \\ b/2 \end{cases} \Rightarrow \begin{cases} r_G^2 = \frac{3b^2}{4}; \\ r_{G,i} \, r_{G,j} = \frac{b^2}{4} \quad (\forall i, j) \end{cases}$$

 $\left[M(r_G^2\mathbf{1}-\boldsymbol{r}_G\otimes\boldsymbol{r}_G)\right]_{ij}=M(r_G^2\delta_{ij}-r_{G,i}\,r_{G,j})$  y su matriz de componentes es

$$M\frac{b^2}{4}\begin{pmatrix} 3-1 & -1 & -1 \\ -1 & 3-1 & -1 \\ -1 & -1 & 3-1 \end{pmatrix}$$

Resulta finalmente un tensor esférico:

$$[\mathbf{I}_G] = Mb^2 \begin{pmatrix} 1/6 & 0 & 0\\ 0 & 1/6 & 0\\ 0 & 0 & 1/6 \end{pmatrix}$$



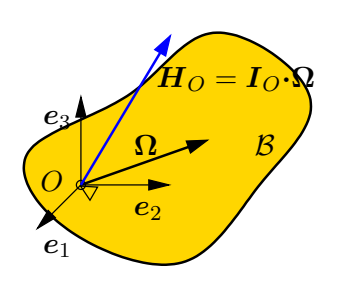
#### Parte III

Clase T7-3: Ecuaciones de la dinámica: ecuaciones de Euler, de Lagrange, cálculo de reacciones



## Índice

- Ecuaciones de la dinámica
  - Ecuaciones de Euler
  - Ecuaciones de Lagrange
  - Reacciones



- Consideramos un sólido  $\mathcal{B}$  con un punto fijo O, cuya velocidad de rotación es  $\Omega$ .
- el momento cinético respecto expresado mediante el tensor de inercia es

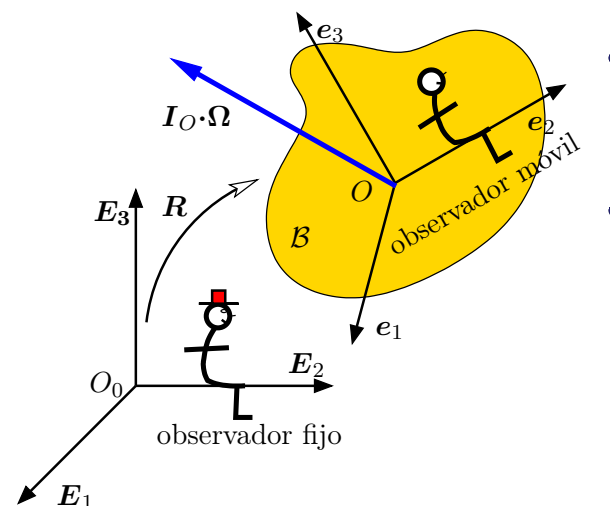
$$\boldsymbol{H}_O = \boldsymbol{I}_O \boldsymbol{\cdot} \boldsymbol{\Omega} \tag{62}$$

• Suponiendo que la resultante de momentos vale  $M_O$ , la ecuación de la dinámica se expresa como

$$M_O = \frac{\mathrm{d}}{\mathrm{d}t} H_O = \frac{\mathrm{d}}{\mathrm{d}t} (I_O \cdot \Omega)$$
 (63)

 En la derivada en la ecuación anterior (63) interviene la variación tanto de  $I_{\Omega}$  como de  $\Omega$  .





- La derivada de  $I_{\mathcal{O}} \cdot \Omega$  en (63) se puede hacer por el observador fijo o el observador móvil
- Para el observador fijo el tensor de inercia  $I_O$ varía con la rotación  $oldsymbol{R}$ del cuerpo, su derivada sería distinta de cero:

$$\frac{\mathrm{d}}{\mathrm{d}t}\boldsymbol{I}_O \neq \boldsymbol{0}$$

30/03/2022

• Sin embargo, para el observador móvil del cuerpo,  $I_O$  es constante:

$$\frac{\mathrm{d}}{\mathrm{d}t}\Big|_{\mathsf{movil}} \boldsymbol{I}_O = \mathbf{0}$$



• Para evitar la derivada del tensor de inercia, derivamos respecto al triedro del cuerpo, en el que el tensor de inercia es constante. Sin embargo, hay que agregar un término complementario de derivación

$$\frac{\mathrm{d}}{\mathrm{d}t}\boldsymbol{H}_{O} = \frac{\mathrm{d}}{\mathrm{d}t}\Big|_{\mathsf{m\'ovil}} (\boldsymbol{H}_{O}) + \boldsymbol{\Omega} \wedge \boldsymbol{H}_{O}$$

$$= \frac{\mathrm{d}}{\mathrm{d}t}\Big|_{\mathsf{m\'ovil}} (\boldsymbol{I}_{O} \cdot \boldsymbol{\Omega}) + \boldsymbol{\Omega} \wedge (\boldsymbol{I}_{O} \cdot \boldsymbol{\Omega})$$

$$= \boldsymbol{I}_{O} \cdot \dot{\boldsymbol{\Omega}} + \boldsymbol{\Omega} \wedge (\boldsymbol{I}_{O} \cdot \boldsymbol{\Omega})$$
(64)

Por tanto, la ecuación de la dinámica puede formularse como

$$M_O = I_O \cdot \dot{\Omega} + \Omega \wedge (I_O \cdot \Omega)$$
 (65)

Esta fórmula es la expresión vectorial de las ecuaciones de Euler.



#### Términos de las ecuaciones de Euler

Las ecuaciones de Euler en expresión vectorial (65) son:

$$M_O = I_O \cdot \dot{\Omega} + \Omega \wedge (I_O \cdot \Omega)$$

En ellas se distinguen dos sumandos:

- **1** El sumando  $I_{\Omega}$  **:**  $\hat{\Omega}$  es proporcional a la aceleración angular  $\hat{\Omega}$ , como en la ecuación clásica Fuerza = masa  $\times$  aceleración
- **2** El sumando  $\Omega \wedge (I_O \cdot \Omega)$  introduce términos cuadráticos respecto a  $\Omega$ , que da un carácter no lineal a las ecuaciones (65).

Estos términos cuadráticos en las ecuaciones son los responsables de los efectos centrífugos y giroscópicos del comportamiento dinámico.



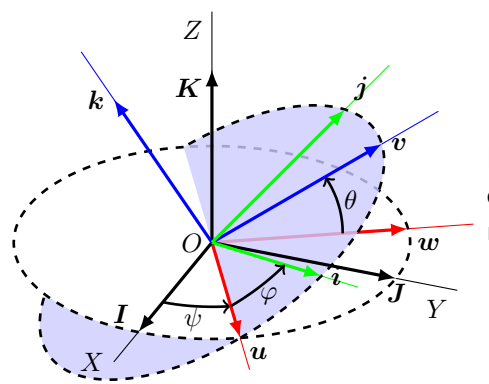
- Para operar con la ecuación de Euler la expresaremos mediante sus componentes en un triedro de coordenadas dado, de forma matricial. La opción más directa es emplear el triedro del cuerpo (i,j,k).
- Siempre que sea posible conviene emplear el triedro principal de inercia $^{12}$ . Suponiendo que los momentos principales son (A,B,C), la matriz es

$$[\mathbf{I}_O] = \begin{pmatrix} A & 0 & 0 \\ 0 & B & 0 \\ 0 & 0 & C \end{pmatrix} \tag{66}$$

• Las expresiones de la velocidad y la aceleración angular son

$$\{\Omega\} = \begin{Bmatrix} p \\ q \\ r \end{Bmatrix}; \quad \{\dot{\Omega}\} = \begin{Bmatrix} \dot{p} \\ \dot{q} \\ \dot{r} \end{Bmatrix} \tag{67}$$

<sup>&</sup>lt;sup>12</sup>Recordamos que las direcciones principales son mutuamente ortogonales y que estánciligadas al sólido



Donde (p,q,r) son las componentes de  $\Omega$  en el triedro del cuerpo  $({\pmb i},{\pmb j},{\pmb k})$  mostrado en la figura

Su expresión en función de los ángulos de Euler  $(\psi, \theta, \varphi)$  es

$$\begin{cases} p = \dot{\theta}\cos\varphi + \dot{\psi}\sin\theta\sin\varphi \\ q = -\dot{\theta}\sin\varphi + \dot{\psi}\sin\theta\cos\varphi \\ r = \dot{\varphi} + \dot{\psi}\cos\theta \end{cases}$$
 (68)



• Las componentes de los términos de las ecuaciones de Euler (65) son

$$I_{O} \cdot \hat{\Omega} = A\dot{p}\,\mathbf{i} + B\dot{q}\,\mathbf{j} + C\dot{r}\,\mathbf{k}$$

$$\Omega \wedge (I_{O} \cdot \Omega) = \begin{vmatrix} \mathbf{i} & \mathbf{j} & \mathbf{k} \\ p & q & r \\ Ap & Bq & Cr \end{vmatrix}$$

$$= (C - B)qr\,\mathbf{i} - (C - A)pr\,\mathbf{j} + (B - A)pq\,\mathbf{k}$$
(69)

 Con lo cual podemos expresar las ecuaciones de Euler en componentes<sup>13</sup>

$$M_x = A\dot{p} - (B - C)qr$$

$$M_y = B\dot{q} - (C - A)rp$$

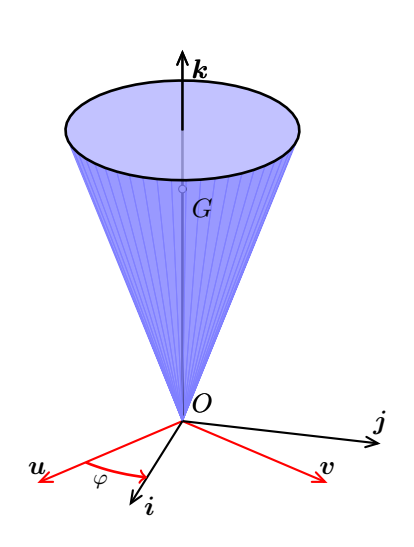
$$M_z = C\dot{r} - (A - B)pq$$
(70)

 Estas ecuaciones deben complementarse con las expresiones de  $(\Omega) = (p, q, r)$  antes definidas (67).

<sup>&</sup>lt;sup>13</sup>Obsérvese la estructura circular de todos los términos en estas ecuaciones



#### Ecuaciones de Euler - triedro intermedio



- Consideramos un sólido con tensor de inercia cilíndrico, por ejemplo un sólido de revolución, con momentos principales (A, A, C).
- En estos casos puede resultar conveniente hacer las derivadas de la ecuación dinámica respecto a un observador en el triedro intermedio (u, v, k).
- El triedro intermedio puede considerarse como el del cuerpo  $({\pmb i}, {\pmb j}, {\pmb k})$  restándole la rotación propia  $\varphi {\pmb k}$
- Conviene tomar k según el eje de simetría cilíndrica, asociado al momento principal C.

#### Ecuaciones de Euler – triedro intermedio

ullet La velocidad de rotación del triedro intermedio es  $\Omega_{
m ti}=\Omega-\dot{arphi}k$ . La expresión vectorial de las ecuaciones dinámicas es ahora

$$\mathbf{M}_{O} = \frac{\mathrm{d}}{\mathrm{d}t} \Big|_{\mathsf{rel ti}} (\mathbf{I}_{O} \cdot \mathbf{\Omega}) + (\mathbf{\Omega} - \dot{\varphi} \mathbf{k}) \wedge (\mathbf{I}_{O} \cdot \mathbf{\Omega})$$
 (71)

 Al ser el tensor cilíndrico, es invariante respecto a la rotación propia  $\dot{\varphi} k$ , por lo que  $\mathrm{d} I_O/\mathrm{d} t|_{\mathrm{rel ti}} = 0$ . La ecuación vectorial es por tanto

$$M_O = I_O \cdot \frac{\mathrm{d}\Omega}{\mathrm{d}t} \bigg|_{\mathrm{rel},\mathrm{ti}} + (\Omega - \dot{\varphi}k) \wedge (I_O \cdot \Omega)$$
 (72)



#### Ecuaciones de Euler – triedro intermedio

 Para las componentes de (72) conviene emplear el triedro intermedio, en el cual las componentes de la velocidad y aceleración angular relativa son<sup>14</sup>

$$\{\Omega\} = \begin{cases} p^{(i)} \\ q^{(i)} \\ r \end{cases} = \begin{cases} \dot{\theta} \\ \dot{\psi} \sin \theta \\ \dot{\varphi} + \dot{\psi} \cos \theta \end{cases}; \quad \{\frac{\mathrm{d}\Omega}{\mathrm{d}t} \Big|_{\mathsf{rel ti}}\} = \begin{cases} \dot{p}^{(i)} \\ \dot{q}^{(i)} \\ \dot{r} \end{cases}$$
 (73)

• Los términos de la ecuación (72) son por tanto

$$I_{O} \cdot \frac{\mathrm{d}\Omega}{\mathrm{d}t} \bigg|_{\text{rel ti}} = A\dot{p}^{(i)} \, \boldsymbol{u} + A\dot{q}^{(i)} \, \boldsymbol{v} + C\dot{r} \, \boldsymbol{k}$$

$$(\boldsymbol{\Omega} - \dot{\varphi} \boldsymbol{k}) \wedge (\boldsymbol{I}_{O} \cdot \boldsymbol{\Omega}) = \begin{vmatrix} \boldsymbol{u} & \boldsymbol{v} & \boldsymbol{k} \\ p^{(i)} & q^{(i)} & r - \dot{\varphi} \\ Ap^{(i)} & Aq^{(i)} & Cr \end{vmatrix}$$

$$= [(C - A)q^{(i)}r^{(i)} + Aq^{(i)}\dot{\varphi}]\boldsymbol{u}$$

$$- [(C - A)p^{(i)}r + Ap^{(i)}\dot{\varphi}]\boldsymbol{v}$$

$$(74)$$



 $<sup>^{14}</sup>$ nótese que la componente r es igual en ambos triedros

#### Ecuaciones de Euler – triedro intermedio

 Las ecuaciones de euler relativas al triedro intermedio en componentes resultan:

$$M_{u} = A\dot{p}^{(i)} - (A - C)q^{(i)}r + Aq^{(i)}\dot{\varphi}$$

$$M_{v} = A\dot{q}^{(i)} - (C - A)rp^{(i)} - Ap^{(i)}\dot{\varphi}$$

$$M_{z} = C\dot{r}$$
(75)

#### Observaciones para ecuaciones en triedro intermedio

- Siempre que exista simetría cilíndrica en el tensor las ecuaciones en el triedro intermedio resultan más convenientes, ya que las componentes de  $\Omega$  en este triedro son más sencillas
- Se observa fácilmente la integral primera de velocidad de rotación constante según el eje de simetría<sup>a</sup>:

$$M_z = 0 \quad \Rightarrow \quad r = \text{cte.}$$
 (76)

### Índice

- 4 Ecuaciones de la dinámica
  - Ecuaciones de Euler
  - Ecuaciones de Lagrange
  - Reacciones

## Ecuaciones de la dinámica – Ecuaciones de Lagrange

 Las ecuaciones de Lagrange de la dinámica analítica pueden emplearse también para el caso del sólido rígido. Para ello se tomarían como coordenadas generalizadas los ángulos de Euler:

$$(q_j) = (\psi, \theta, \varphi); \quad (\dot{q}_j) = (\dot{\psi}, \dot{\theta}, \dot{\varphi})$$
 (77)

- Las tres ecuaciones que resultan son equivalentes a las ecuaciones de Euler, aunque no necesariamente idénticas.
- Tienen la ventaja de que sólo es necesario calcular la magnitud (escalar) de la Lagrangiana, L=T-V, y a partir de ella realizar las derivadas.
- Otra potencial ventaja de las ecuaciones de Lagrange es para la formulación de integrales primeras o constantes del movimiento (energía, Jacobi, coordenadas cíclicas)



## Ecuaciones de la dinámica – Ecuaciones de Lagrange

ullet La ecuación de Lagrange para arphi sí coincide con una de las ecuaciones de Euler. Se comprueba fácilmente desarrollando las derivadas:

$$T = \frac{1}{2} \left( Ap^2 + Bq^2 + Cr^2 \right) \tag{78}$$

$$\frac{\mathrm{d}}{\mathrm{d}t} \left( \frac{\partial T}{\partial \dot{\varphi}} \right) = \frac{\mathrm{d}}{\mathrm{d}t} \left( \frac{\partial T}{\partial p} \frac{\partial \not p}{\partial \dot{\varphi}} + \frac{\partial T}{\partial q} \frac{\partial \not q}{\partial \dot{\varphi}} + \frac{\partial T}{\partial r} \frac{\partial r}{\partial \dot{\varphi}} \right) = C\dot{r} \tag{79}$$

$$\frac{\partial T}{\partial \varphi} = \frac{\partial T}{\partial p} \frac{\partial p}{\partial \varphi} + \frac{\partial T}{\partial q} \frac{\partial q}{\partial \varphi} + \frac{\partial T}{\partial r} \frac{\partial \psi}{\partial \varphi} = (A - B)pq$$
 (80)

• Con lo que resulta una ecuación idéntica a la tercera de Euler,

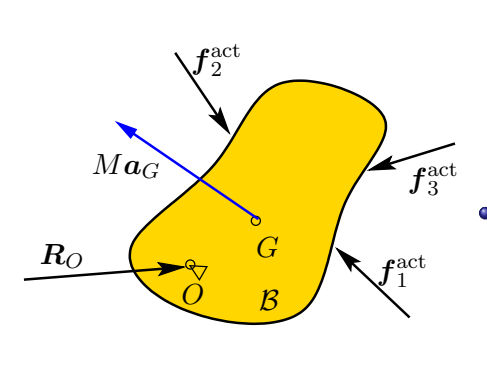
$$C\dot{r} - (A - B)pq = Q_{\varphi}(= M_z) \tag{81}$$

- Las otras dos ecuaciones de Lagrange puede comprobarse que son combinación lineal de las ecuaciones de Euler.
- Escogiendo el eje z sucesivamente según los otros dos ejes del triedro, obtendríamos las otras dos ecuaciones de Euler, lo que comprueba su equivalencia.

### Índice

- 4 Ecuaciones de la dinámica
  - Ecuaciones de Euler
  - Ecuaciones de Lagrange
  - Reacciones

#### Ecuaciones de la dinámica - Reacciones



 Sea un sólido con un punto O fijo, sobre el que actúan fuerzas exteriores activas, cuya resultante es

$$F^{\mathsf{act}} = \sum_{i} f_{i}^{\mathsf{act}}$$
 (82)

• La reacción  $R_O$  se obtiene a partir de la ecuación de balance de cantidad de movimiento:

$$\mathbf{F}^{\mathsf{act}} + \mathbf{R}_O = M\mathbf{a}_G$$
 (83)

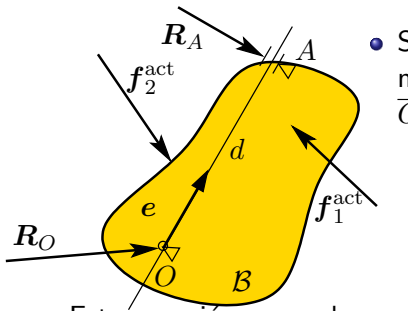
ullet donde  $oldsymbol{a}_G$  se obtendría de la expresión cinemática

$$oldsymbol{a}_G = \dot{oldsymbol{\Omega}} \wedge oldsymbol{r}_{OG} + oldsymbol{\Omega} \wedge (oldsymbol{\Omega} \wedge oldsymbol{r}_{OG})$$

ullet y la velocidad y aceleración angular  $\Omega$ ,  $\dot{\Omega}$  de las ecuaciones de Euler

$$oldsymbol{M}_O = oldsymbol{I}_O{\cdot}\dot{\Omega} + \Omega \wedge (oldsymbol{I}_O{\cdot}\Omega)$$

#### Ecuaciones de la dinámica - Reacciones



• Sea ahora un sólido con un eje fijo, materializado por los puntos (O, A), siendo  $\overline{OA} = d$ . La ecuación de Euler en O es

$$oldsymbol{M}_{O}^{\mathsf{act}} + d \, oldsymbol{e} \wedge oldsymbol{R}_{A} = oldsymbol{I}_{O} {\cdot} \dot{oldsymbol{\Omega}} + oldsymbol{\Omega} \wedge (oldsymbol{I}_{O} {\cdot} oldsymbol{\Omega}) \quad (84)$$

Esta ecuación se puede resolver para  $R_A$ 

$$\mathbf{R}_{A} = \frac{1}{d} \left[ \mathbf{I}_{O} \cdot \dot{\mathbf{\Omega}} + \mathbf{\Omega} \wedge (\mathbf{I}_{O} \cdot \mathbf{\Omega}) - \mathbf{M}_{O}^{\mathsf{act}} \right] \wedge \mathbf{e}$$
 (85)

ullet En el caso particular que el eje e sea principal,  $I_O{\cdot}e=I_{O,e}e$  resulta

$$R_A = \frac{1}{d}e \wedge M_O^{\sf act}$$
 (= reacción estática!) (86)

• Finalmente la reacción en O se obtendría mediante

$$oldsymbol{R}_O = Moldsymbol{a}_G - oldsymbol{F}^{\sf act} - oldsymbol{R}_A$$